

УДК 542.2:546.8:546.02:546.06

**НОВЫЙ КВАДРАТНЫЙ КЛАСТЕР НИОБИЯ $\{\text{Nb}_4(\mu_4\text{-O})\text{I}_8\}^{2+}$.
КРИСТАЛЛИЧЕСКАЯ СТРУКТУРА ПОЛИМЕРА $[\text{Nb}_4\text{OI}_8][\text{Mo}_6\text{I}_{14}]_{2\infty}$**

© 2011 С.Б. Артемкина¹, Н.Г. Наумов^{1,2*}, А.В. Вировец¹, С.Г. Козлова^{1,2}, В.Е. Фёдоров^{1,2}

¹Учреждение Российской академии наук Институт неорганической химии им. А.В. Николаева СО РАН,
Новосибирск

²Новосибирский государственный университет

Статья поступила 30 марта 2010 г.

Исследована кристаллическая структура нового слоистого полимера $[\text{Nb}_4\text{OI}_8][\text{Mo}_6\text{I}_{14}]_{2\infty}$, содержащего ранее неизвестный кластер ниобия $\{\text{Nb}_4(\mu_4\text{-O})\text{I}_8\}^{2+}$ с μ_4 -атомом кислорода. Соединение кристаллизуется в триклинной пространственной группе $P\bar{1}$ с параметрами: $a = 10,1842(6)$, $b = 10,1880(6)$, $c = 11,5700(6)$ Å, $\alpha = 78,058(2)$, $\beta = 77,944(2)$, $\gamma = 80,738(2)^\circ$, $V = 1139,85(11)$ Å³, $Z = 1$, $R_F = 0,0414$. Рассчитана электронная структура кластерного комплекса $[\{\text{Nb}_4(\mu_4\text{-O})\text{I}_8\}\text{I}_4]^{2-}$.

Ключевые слова: ниобий, молибден, металлокластер, синтез, кристаллическая структура, электронная структура.

ВВЕДЕНИЕ

Несмотря на ограниченное число известных в литературе четырехъядерных комплексов ниобия, типы таких металлокластеров достаточно разнообразны [1]. Исторически первыми были получены полимерные соединения GaNb_4Se_8 [2] и $\text{Nb}_4\text{Se}_4\text{I}_4$ [3]. Эти соединения характеризуются наличием кластерного ядра Nb_4Se_4 с электронодефицитным тетраэдрическим металлокластером Nb_4 , содержащим соответственно 7 и 8 валентных электронов на металлокластер; при этом расстояния Nb—Nb в них составляют 2,96 и 3,03 Å. Цианокомплекс состава $[\text{Nb}_4\text{OTe}_4(\text{CN})_{12}]^{6-}$, содержащий кластерное ядро $\{\text{Nb}_4(\mu_4\text{-O})(\mu_3\text{-Te})_4\}^{6+}$ с включенным атомом кислорода, является еще более электронодефицитным: здесь на металлокластер Nb_4 приходится всего 4 электрона, поэтому расстояния Nb—Nb значительно длиннее и составляют 3,189(2)—3,211(2) Å [4].

Другая группа комплексов содержит металлокластеры типа "раскрытая бабочка". Такие металлокластеры найдены в структурах галогенидных комплексов ниобия $\text{MNb}_4\text{X}_{11}$, $\text{M} = \text{Rb}, \text{Cs}$, $\text{X} = \text{Cl}, \text{Br}$ [5, 6]. В этих соединениях атомы ниобия образуют ромб с расстояниями Nb—Nb 2,95 и 3,04 Å; число скелетных валентных электронов, равное 10, соответствует наличию пяти одинарных связей Nb—Nb. Ромбический трехэлектронный кластерный комплекс типа "бабочка" присутствует в соединении $\text{Nb}_4(\text{Te}_2)_4\text{Te}_4\text{I}$ [7], среднее расстояние Nb—Nb здесь составляет 3,046 Å. Квадратные кластерные комплексы ниобия Nb(III) представлены двумя соединениями: $\text{Li}[\text{Nb}_4(\mu_4\text{-S})_2(\mu\text{-SPh})_{12}]$ (Nb—Nb 2,826 и 2,828 Å) [8] и $[\text{Nb}_4(\mu_4\text{-S})_2(\mu\text{-SPh})_4(\text{PMe}_2\text{R})_4]$ (Nb—Nb 2,822 и 2,810 Å) [9]. В этих соединениях металлокластер координирован двумя шапочными μ_4 -атомами серы, расположенными над и под квадратом Nb_4 ; на металлокластер Nb_4 приходится 8 валентных электронов, что соответствует образованию четырех двухэлектронных двухцентро-

* E-mail: naumov@niic.nsc.ru

вых связей металл—металл. Квадратных комплексов с одним μ_4 -лигандом к настоящему времени не известно.

В настоящей работе мы сообщаем о результатах исследования кристаллической структуры нового слоистого полимера $[Nb_4OI_8][Mo_6I_{14}]_{2\infty}$, содержащего ранее неизвестный кластер ниobia $\{Nb_4(\mu_4-O)I_8\}^{2+}$. Кристаллы соединения $[Nb_4OI_8][Mo_6I_{14}]_{2\infty}$ (**1**) черного цвета с металлическим блеском были найдены в небольшом количестве в продуктах синтеза гетерометаллического ниобий-молибденового иодида Mo_5NbI_{11} из простых веществ (Nb, Mo, I₂) при 650 °C [10].

РЕНТГЕНДИФРАКТОМЕТРИЧЕСКИЕ ИССЛЕДОВАНИЯ

Строение соединения **1** было определено методом РСА. Значения интенсивностей отражений измерены на автоматическом дифрактометре Bruker-Nonius X8 Apex CCD при комнатной температуре (MoK_α-излучение, $\lambda = 0,71073 \text{ \AA}$, графитовый монохроматор) [11] от черной с металлическим блеском пластинки размером $0,01 \times 0,04 \times 0,07 \text{ mm}$. Поглощение учтено эмпирически по программе SADABS [12]. Первоначально сингония кристалла была определена как моноклинная, а решетка Браве — как бокоцентрированная (*C*). Погасания, отвечающие плоскости скользящего отражения, отсутствовали. Структуру расшифровать не удалось ни в одной из возможных пространственных групп (*C2/m*, *C2* или *Cm*). Тщательный анализ эквивалентных рефлексов показал, что истинная симметрия кристалла триклиновая, пространственная группа *C-1* (в псевдомоноклинной установке). Векторы трансляций псевдомоноклинной элементарной ячейки связаны с таковыми для триклиновой следующим преобразованием: $a_m = a_t + b_t$, $b_m = -a_t - b_t$, $c_m = -c_t$. Структура была расшифрована в триклиновой установке (в группе *P-1*) прямым методом по программе SHELXS-97. В ходе уточнения не удалось снизить R_1 ниже 25 %. Анализ таблицы вычисленных и наблюдаемых значений F^2 , а также величин *K* в соответствии с [13] навел нас на мысль, что кристалл является псевдомероэдрическим двойником с законом двойникования $b'_m = -b_m$ (инвертирование оси псевдомоноклинности). Вычисленный в соответствии с [13] закон двойникования в триклиновой решетке выглядит следующим образом: $a'_t = b_t$, $b'_t = a_t$, $c'_t = c_t$. Его учет привел к резкому снижению величины R_1 и удовлетворительным величинам *K*. Фактически двойникование приводит к перемене местами осей *a* и *b*, которые, как и углы при них, практически совпадают.

Таким образом, истинная симметрия соединения — триклиновая с параметрами ячейки $a = 10,1842(6)$, $b = 10,1880(6)$, $c = 11,5700(6) \text{ \AA}$, $V = 1139,85(11) \text{ \AA}^3$, $\alpha = 78,058(2)$, $\beta = 77,944(2)$, $\gamma = 80,738(2)^\circ$, пр. гр. *P-1*, $Z = 1$, $d_{\text{выч}} = 5,470 \text{ г}/\text{cm}^3$. Характеристики дифракционного эксперимента: $\theta_{\max} = 36,23^\circ$, измерено 14216 F_{hkl} , в том числе 9276 независимых наблюдаемых ($R_{\text{int}} = 0,0263$) в области индексов $-15 < h < 16$, $-15 < k < 16$, $-14 < l < 19$. Окончательные значения факторов расходимости: $R(F) = 0,0414$, $wR(F^2) = 0,0757$ для 7451 $F_{hkl} > 4\sigma(F)$, $R(F) = 0,0594$, $wR(F^2) = 0,0821$ для всех 9276 независимых отражений. GOOF = 1,027 для всех независимых рефлексов. $\Delta\rho_{\max}$ и $\Delta\rho_{\min}$ равны 2,616 и -3,449 соответственно. Максимум электронной плотности локализован около атома I10 и не имеет химического смысла. Файл CIF CSD421599, содержащий полную информацию по исследованной структуре, депонирован в Банке данных по структурам неорганических соединений (ICSD, <http://www.fiz-karlsruhe.de>), откуда может быть свободно получен по письменному запросу по адресу Fachinformationszentrum Karlsruhe, 76344 Eggenstein-Leopoldshafen, Germany, либо по факсу +49-(0)7247/808-666 с указанием депозитарного кода.

РАСЧЕТЫ

Расчеты электронного строения молекулярного комплекса $[Nb_4(\mu_4-O)I_{12}]^{2-}$ проведены с использованием теории функционала плотности, реализованной в программном комплексе ADF2008 [14]. В качестве LDA функционала плотности использовали функционал VWN [15], а в качестве GGA — функционалы (Becke [16] & Perdew [17]). Базисные наборы состояли из трижды расщепленных функций слэтеровского типа, дополненных наборами поляризационных функций (TZP) без остовного потенциала. Релятивистские эффекты учитывались с помощью

формализма ZORA [18]. Энергию образования молекул рассчитывали согласно [19, 20]. Анализ межатомных взаимодействий проводили при использовании топологического метода функции локализации электронной плотности (ELF) [21, 22]. Молекулярный комплекс $[Nb_4OI_{12}]^{2-}$ рассчитан при использовании атомных координат, полученных из структурных данных с точечной симметрией C_i , а также с оптимизацией всех координат в рамках точечной симметрии C_i и близкой к ней C_{2h} . Для структуры с реальными координатами энергия образования составила $-75,128$ эВ, при этом было обнаружено нарушение принципа Ау—Бау при заполнении молекулярных орбиталей (МО). Энергии образования для оптимизированных структур были близки и составили $-75,9945$ эВ (симметрия C_{2h}) и $-75,9954$ эВ (симметрия C_i). Для дальнейшего анализа была использована оптимизированная структура с симметрией C_i , как наиболее энергетически выгодная.

ОПИСАНИЕ СТРУКТУРЫ 1

Соединение **1** кристаллизуется в триклинической пр. гр. $P\bar{1}$ (№ 2). Кристаллическая структура соединения представляет собой слоистый координационный полимер, составленный из фрагментов двух типов.

Первый фрагмент — новый ниобиевый кластер $\{Nb_4(\mu_4-O)I_8\}$ (рис. 1). Металлокластер Nb₄ представляет собой параллелограмм, близкий к квадрату: длины сторон (Nb—Nb) составляют 2,7710(13) и 2,9612(13) Å, величины внутренних углов 90,58(4) и 89,42(4)°. В центре Nb₄ находится атом кислорода с длинами связей Nb—O 2,0176(8) и 2,0379(8) Å. Координаты атома кислорода (1/2, 1/2, 1/2) совпадают с центром тяжести Nb₄. Каждая сторона Nb₄ координирована двумя мостиковыми атомами иода с длинами связей Nb—I 2,8217(12)—2,8478(12) Å, среднее значение 2,8369 Å. Эти восемь "внутренних" атомов иода образуют слегка искаженный куб со сторонами от 3,938 до 4,075 Å.

Второй фрагмент — это октаэдрический кластер Mo₆I₁₄ со строением, типичным для кластеров типа M₆X₁₄: октаэдр из шести атомов молибдена координируется восемью шапочными атомами иода, μ_3 -I. Дополнительно каждый атом молибдена координирован концевым атомом иода. Кристаллографически независимая часть молибденового комплекса представлена атомами Mo1, Mo2, Mo3 и I1—I7, все в общих позициях. Центры тяжести октаэдров M₆ находятся в вершинах элементарной ячейки. Длины связей Mo—Mo находятся в интервале 2,6757(11)—2,7068(10) Å, среднее значение 2,6891 Å, это близко к длинам связей Mo—Mo в кристаллической структуре Mo₆I₁₂ (2,670(4)—2,676(5) Å, среднее 2,672 Å [23]) и Cs₂Mo₆I₁₄ (2,661—2,685 Å, среднее 2,679 Å [24]). В комплексе Mo₆I₁₄ соединения **1** длины связей Mo—(μ_3 -I) находятся

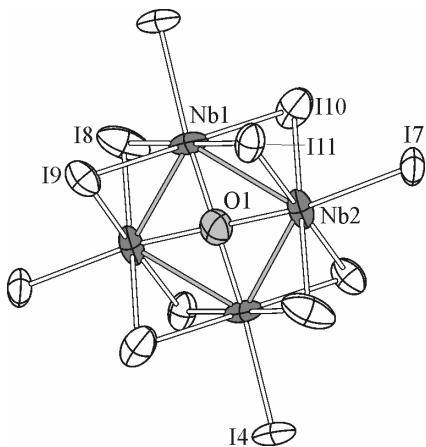


Рис. 1. Строение кластерного комплекса $[Nb_4OI_8I_4]^{2-}$ с индексацией атомов независимой части. Тепловые эллипсоиды 80%-й вероятности

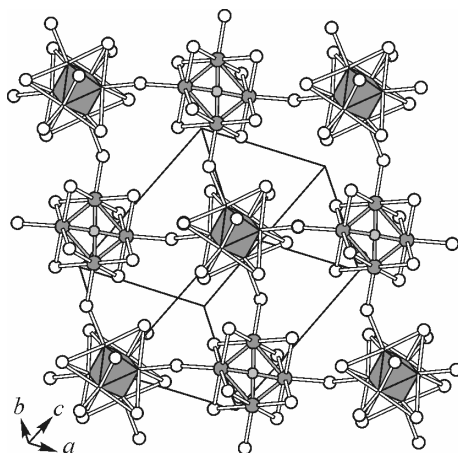


Рис. 2. Строение полимерного слоя в структуре соединения $[Nb_4OI_8][Mo_6I_{14}]$ (**1**)

*Экспериментальные и оптимизированные межатомные расстояния и углы
для молекулярного комплекса $[Nb_4OI_{12}]^{2-}$ (симметрия C_i)*

Параметр	$Nb-Nb, \text{ \AA}$	$\angle Nb-Nb-Nb, \text{ град.}$	$\angle Nb-O-Nb, \text{ град.}$	$Nb-O, \text{ \AA}$	$Nb-I, \text{ \AA}$	$Nb-I_M, \text{ \AA}$
Расч (эксп)	2,647 (2,771) 3,266 (2,961)	89,964 (89,42) 90,036 (90,58)	101,94 (93,80) 78,06 (86,20)	2,101 (2,018) 2,103 (2,038)	2,910 (2,822) 2,911 (2,848)	2,874 (2,854) 2,887 (2,854)

в пределах 2,7697(9)–2,7972(9) Å, среднее 2,7817 Å. Четыре из шести концевых атома иода служат мостиками, которые связаны с блоками $\{Nb_4(\mu_4-O)I_8\}^{2+}$, образуя протяженные связи ...—I— $\{Mo_6I_8\}$ —I— $\{Nb_4(\mu_4-O)I_8\}$ —I—... в двух направлениях, что приводит к образованию квадратных полимерных сеток, как показано на рис. 2. Длины связей Mo—(μ_2 -I) с мостиковыми атомами иода равны 2,8735(10) и 2,8973(9) Å, а для терминальных атомов иода длина связи Mo—I значительно короче и составляет 2,8028(10) Å. Длины связей Nb—(μ_2 -I) составляют 2,8737(10) и 2,8870(10) Å.

ОБСУЖДЕНИЕ РЕЗУЛЬТАТОВ

Квадратный комплекс $\{Nb_4(\mu_4-O)I_8\}^{2+}$ является новым кластером в химии ниобия: это первый кластерный комплекс ниобия, который содержит один μ_4 -атом кислорода, локализованный в плоскости квадрата Nb_4 . Если принять заряд фрагмента $\{Mo_6I_{14}\}$ равным 2-, как в $Cs_2Mo_6I_{14}$, атомам ниобия можно приписать заряд 3+. Таким образом, кластер является электроноточным и содержит 8 кластерных валентных электронов. Это отличает их от известных квадратных комплексов титана, ванадия, tantalа, которые являются электронодефицитными и смешанновалентными [25–27].

Ближайший структурный аналог найденного кластера — молекулярный комплекс $\{Ti_4(\mu_4-O)I_8\}$ в составе соединения $K_4[Ti_4(\mu_4-O)I_{12}]$ [25] имеет квадратный металлоостов, представляющий смешанно-валентный комплекс с атомом кислорода в плоскости квадрата, с длинами связей Ti—Ti 2,860(2) и Ti—O 2,025(1) Å.

Расстояния Nb—Nb в структуре $\{Nb_4(\mu_4-O)I_8\}^{2+}$ различаются на 0,19 Å и составляют 2,7710(13) и 2,9612(13) Å. Это приводит к достаточно сильному искажению металлокластера Nb_4 .

Оптимизированные межатомные расстояния в кластерном комплексе $[Nb_4OI_{12}]^{2-}$ несколько отличаются от экспериментально найденных (см. таблицу), однако топология и характер искажений кластера сохраняется.

Расчеты электронной структуры, проведенные для оптимизированного комплекса $[Nb_4OI_{12}]^{2-}$ с точечной симметрией C_i , показывают, что высшие занятые молекулярные орбитали $202A_g$ и $203A_g$ образованы преимущественно атомными орбитальными ниобия и носят связующий характер. На рис. 3 представлены схема расположенияМО и их вид.

Связующий характер перекрывания атомных $4d$ -орбиталей ниобия верхних заполненных молекулярных орбиталей согласуется с данными ELF. На рис. 4 представлены карты распределения функции ELF для системы $[Nb_4OI_{12}]^{2-}$. Связи Nb—Nb, характеризующиеся короткими расстояниями, яв-

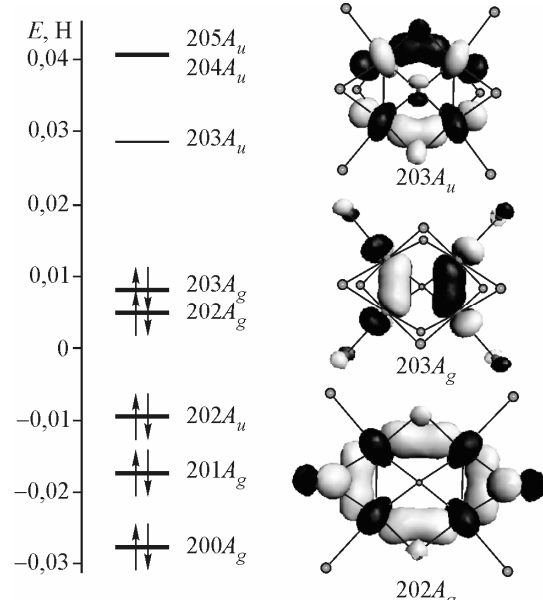


Рис. 3. РасположениеМО (слева) и их вид (справа) для системы $[Nb_4OI_{12}]^{2-}$ с точечной симметрией C_i

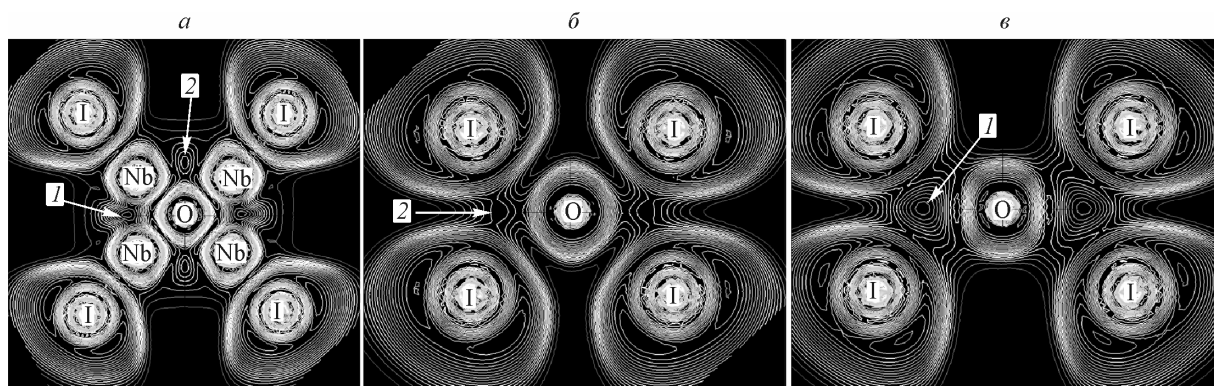


Рис. 4. Карты распределения функции ELF: *а* — плоскость, образованная 4 атомами ниобия; *б* — плоскость, образованная 4 атомами иода и проходящая через длинное расстояние Nb—Nb; *в* — плоскость, образованная 4 атомами иода и секущая короткую связь Nb—Nb. Связующий бассейн между атомами Nb—Nb показан стрелкой 1; связевой путь между атомами I—I показан стрелкой 2

ляются ковалентными напряженными связями: области локализации электронов, показывающие химическое связывание, сдвинуты с прямой линии Nb—Nb.

Такой парный ковалентный напряженный характер связывания между атомами ниobia является достаточно необычным. Подобное связывание между атомами металла было предсказано ранее для комплекса $[V_4S_9Br_8]^{4-}$ в кристалле $V_4S_9Br_4$ [26, 28], где при 294 К все расстояния V—V равны и составляют 3,0053(6) Å. В работе [28] было высказано предположение, что низкотемпературный фазовый переход в кристаллах $V_4S_9Br_4$ может быть связан с симметрийной перестройкой структуры ($C_{4v} \rightarrow C_{2v}$), при которой должны образоваться парные группировки V—V. Однако про наблюдать экспериментально этот механизм не удалось, поскольку при фазовом переходе кристаллы $V_4S_9Br_4$ полностью разрушаются, что, вероятно, связано с наличием напряженных ковалентных связей V—V.

Работа выполнена при поддержке гранта Российского фонда фундаментальных исследований 09-03-00964-а и Государственного контракта № 02.740.11.0628.

СПИСОК ЛИТЕРАТУРЫ

1. Федоров В.Е., Миронов Ю.В., Наумов Н.Г. и др. // Успехи химии. – 2007. – **76**, № 6. – П. 571 – 595.
2. Jakob S., Muller H., Johrendt D. et al. // J. Mater. Chem. – 2007. – **17**, N 36. – P. 3833 – 3838.
3. Федоров В.Е., Евстафьев В.К., Кирик С.Д. и др. // Журн. неорган. химии. – 1981. – **26**, № 10. – П. 2701 – 2707.
4. Fedin V.P., Kalinina I.V., Virovets A.V. et al. // Chem. Commun. – 1998. – N 23. – P. 2579 – 2580.
5. Broll A., Simon A., von Schnering H.G. et al. // Z. Anorg. Allg. Chem. – 1969. – **367**. – S. 1 – 18.
6. Habermehl K., Kleinke H., Meyer G. // Z. Anorg. Allg. Chem. – 2010. – **636**, N 1. – S. 50 – 53.
7. Deng S.Q., Zhuang H.H., Lu C.Z. et al. // Acta Crystallogr. C. – 1993. – **49**. – P. 1135 – 1137.
8. Seela J.L., Huffman J.C., Christou G. // J. Chem. Soc., Chem. Commun. – 1987. – N 16. – P. 1258 – 1260.
9. Babaiankibala E., Cotton F.A., Kibala P.A. // Polyhedron. – 1990. – **9**, N 14. – P. 1689 – 1694.
10. Artemkina S.B., Naumov N.G., Kondrakov K.N. et al. // Z. Anorg. Allg. Chem. – 2010. – **636**, N 3. – P. 483 – 491.
11. Bruker AXS Inc. (2004). APEX2 (Version 1.08), SAINT (Version 7.03). Bruker Advanced X-ray Solutions, Madison, Wisconsin, USA.
12. Bruker AXS Inc. (2004). SADABS (Version 2.11). Bruker Advanced X-ray Solutions, Madison, Wisconsin, USA.
13. Herbst-Irmer R., Sheldrick G.M. // Acta Crystallogr. Sec. B-Struct. Science. – 1998. – **54**. – P. 443 – 449.
14. Amsterdam Density Functional (ADF) program, Release 2006.02; Vrije Universiteit: Amsterdam, The Netherlands, 2006.
15. Vosko S.H., Wilk L., Nusair M. // Canad. J. Phys. – 1980. – **58**, N 8. – P. 1200 – 1211.
16. Becke A.D. // Phys. Rev. A. – 1988. – **38**, N 6. – P. 3098 – 3100.

17. Perdew J.P. // Phys. Rev. B. – 1986. – **33**, N 12. – P. 8822 – 8824.
18. van Lenthe E., Ehlers A., Baerends E.J. // J. Chem. Phys. – 1999. – **110**, N 18. – P. 8943 – 8953.
19. Baerends E.J., Branchadell V., Sodupe M. // Chem. Phys. Lett. – 1997. – **265**, N 3-5. – P. 481 – 489.
20. Ziegler T., Rauk A. // J. Theor. Chem. Acta. – 1977. – **46**. – P. 1 – 10.
21. Becke A.D., Edgecombe K.E. // J. Chem. Phys. – 1990. – **92**. – P. 5387 – 5403.
22. Silvi B., Savin A. // Nature. – 1994. – **371**. – P. 683 – 686.
23. Алиев З.Г., Клинкова Л.А., Дубровин И.В., Атоянян Л.О. // Журн. неорган. химии. – 1981. – **26**. – P. 1964.
24. Kirakci K., Cordier S., Perrin C. // Z. Anorg. Allg. Chem. – 2005. – **631**, N 2-3. – S. 411 – 416.
25. Jongen L., Mudring A.V., Moller A. et al. // Angew. Chem. Int. Ed. – 2004. – **43**, N 24. – P. 3183 – 3185.
26. Mironov Y.V., Yarovoi S.S., Naumov D.Y. et al. // J. Phys. Chem. B. – 2005. – **109**, N 50. – P. 23804 – 23807.
27. Sokolov M.N., Gushchin A.L., Virovets A.V. et al. // Inorg. Chem. – 2004. – **43**, N 25. – P. 7966 – 7968.
28. Kozlova S.G., Gabuda S.P., Berezovskii G.A. et al. // J. Solid State Chem. – 2008. – **181**, N 10. – P. 2877 – 2881.